

デモ: X_i 平均 0, 共分散行列 Σ の m 次元ガウス分布に従う random vector (縦ベクトル). $X = (X_1, \dots, X_n)$ において, $m \times m$ random 行列 $W = XX'$ を考える.¹ W の最大固有値が x 以下である確率は?

```
rpwishart<-function(lambda=3,sigma=diag(c(1/2,1/4,1/6)),
n=5,try=100) #シミュレーション
{count<-0;r<-rWishart(try,df=n,Sigma=sigma);
  for (k in seq(1,try)) {
    ell1 <- max(eigen(r[,,k])$values);
    if (ell1 < lambda) count<-count+1; }
  return(count/try) }
```

```
hgm.pwishart(m=3,n=5,beta=c(1,2,3),q=3)
# matrix HG の数値計算. library("hgm");
```

¹Wishart 分布. なお X' は X の転置

Constantine 1963. 自由度 n , $m \times m$ 共分散行列 Σ できる Wishart 分布に従う $m \times m$ 行列の最大固有値 ℓ_1 が x より小さい確率は

$$P[\ell_1 < x] = C \exp\left(-\frac{x}{2} \text{tr} \Sigma^{-1}\right) x^{\frac{1}{2}nm} {}_1F_1\left(\frac{m+1}{2}; \frac{n+m+1}{2}; \frac{x}{2} \Sigma^{-1}\right) \quad (1)$$

${}_1F_1$ は行列引数の超幾何関数.

$$C = \frac{\Gamma_m\left(\frac{m+1}{2}\right)}{2^{\frac{1}{2}nm} (\det \Sigma)^{\frac{1}{2}n} \Gamma_m\left(\frac{n+m+1}{2}\right)}, \quad \Gamma_m(t) = \pi^{m(m-1)/4} \prod_{i=1}^m \Gamma(t - (i-1)/2)$$

前半: (1) の証明のスケッチ.

後半: (1) の効率的計算手法. ソフトウェア. 展開.

Jack symmetric polynomial の漸化式.

$$J_k^{(\alpha)}(x_1) = x_1^k (1 + \alpha)_k$$

$$J_{\kappa}^{(\alpha)}(x_1, \dots, x_m) = \sum_{\mu} J_{\mu}^{(\alpha)}(x_1, \dots, x_{m-1}) x_m^{|\kappa/\mu|} \beta_{\kappa\mu} \quad (2)$$

$$\kappa_1 \geq \mu_1 \geq \kappa_2 \geq \mu_2 \geq \dots$$

C-normalization. $C_{\kappa}(x) = C_{\kappa}^{(2)}(x) = c_{\kappa} J_{\kappa}^{(2)}(x)$.

Matrix ${}_1F_1(a, c; Y)$ の級数表示.²

$$\sum_{k=0}^{\infty} \sum_{\kappa, |\kappa|=k} \frac{(a)_{\kappa}}{(c)_{\kappa}} \frac{C_{\kappa}(Y)}{k!}, \quad (a)_{\kappa} = \frac{\Gamma_m(a, \kappa)}{\Gamma_m(a)}$$

Muirhead (1970) の微分方程式.

$$g_i = y_i \partial_i^2 + (c - y_i) \partial_i + \frac{1}{2} \sum_{j=1, j \neq i}^m \frac{y_j}{y_i - y_j} (\partial_i - \partial_j) - a \quad (3)$$

Kummer relation. Y と $-Y$ の変換. Herz (1955) pp487-488.

² $\Gamma_m(t, \kappa)$: κ つきは $t - (i - 1)/2$ を $t + k_i - (i - 1)/2$ に

ノート $\beta_{\kappa\mu}$ は, κ, μ で決まる数.

$$\beta_{\kappa\mu} = \frac{\prod_{(i,j) \in \kappa} B_{\kappa\mu}^{\kappa}(i,j)}{\prod_{(i,j) \in \mu} B_{\kappa\mu}^{\mu}(i,j)}$$

$$B_{\kappa\mu}^{\nu} = \kappa'_j - i + \alpha(\kappa_i - j + 1) \quad \kappa'_j = \mu'_j$$

$$B_{\kappa\mu}^{\nu} = \kappa'_j - i + 1 + \alpha(\kappa_i - j) \quad \text{otherwise}$$

κ' は κ の conjugate partition (Young 図を転置したもの).

C normalization は Jack に

$$\frac{\alpha^{|\kappa|} (|\kappa|)!}{j_{\kappa}}, \quad j_{\kappa} = \prod_{(i,j) \in \kappa} (\kappa'_j - i + \alpha(\kappa_i - j + 1)) (\kappa'_j - i + 1 + \alpha(\kappa_i - j))$$

を掛けたもの.

S は $m \times m$ 対称行列. $Z_\kappa(S) = J_\kappa^{(2)}(S)$ とおく.

$$Z_\kappa(H'SH) = Z_\kappa(S), \quad H \in O(m) \quad O(m) \text{ 不変性}$$

$$Z_{(2,0)} = 3x_1^2 + 2x_1x_2 + 3x_2^2$$

$$Z_{(1,1)} = 2x_1x_2$$

$$Z_{(3,0)} = 15x_1^3 + 9x_1^2x_2 + 9x_1x_2^2 + 15x_2^3$$

$$Z_{(2,1)} = 4x_1^2x_2 + 4x_1x_2^2$$

x_i は対称行列 S の固有値. 固有値の対称式なので, S の元の多項式として書ける.

```
import("tk_jack.rr")$  
tk_jack.zonal([2,1],2); // [2,1] は partition. 2変数.
```

二つの基本公式:

$$(\text{tr}(S))^k = \sum_{\kappa, |\kappa|=k} C_{\kappa}(S)$$

James 1960(doubling principle). $C_{\kappa}(ST) := C_{\kappa}(T^{1/2}ST^{1/2})$.

$$\int_{O(m)} C_{\kappa}(H'SHT)d(H) = C_{\kappa}(S)C_{\kappa}(T)/C_{\kappa}(I)$$

以下 Constantine 1963. Laplace 変換に対してよい振る舞い. ³

$$\int_{S>0} \exp(-\text{tr}(RS))|S|^{t-(m+1)/2} C_{\kappa}(ST)dS = \Gamma_m(t, \kappa)|R|^{-t} C_{\kappa}(TR^{-1}) \quad (4)$$

Proof sketch. 左辺を $f(T)$ とおいて, $T \rightarrow H'TH$ と変数変換し, $O(m)$ の上で積分. $f(T) = [f(I)/C_{\kappa}(I)]C_{\kappa}(T)$ となる. あとは定数項をがんばって決める. //

$$\int_{s>0} \exp(-rs)s^{t-1} ds = \Gamma(t)s^{-t},$$
$$\Gamma_m(t, \kappa) = \pi^{m(m-1)/4} \prod_{i=1}^m \Gamma(t + k_i - (i-1)/2)$$

ノート $R = I$ (単位行列) の時.

$$f(H' TH) = \int_{S>0} \exp(-\text{tr}(S)) |S|^{t-(m+1)/2} C_{\kappa}(SH' TH) dS$$

$$\begin{aligned} \text{不変性, 別紙} &= \int_{S>0} \exp(-\text{tr}(S)) |S|^{t-(m+1)/2} C_{\kappa}(HSH' THH') dS \\ &= \int_{S>0} \exp(-\text{tr}(S)) |S|^{t-(m+1)/2} C_{\kappa}(HSH' T) dS \end{aligned}$$

右辺を H' で (順序交換して) 積分すると, James 1960 の公式より,
 $\int_{S>0} \exp(-\text{tr}(S)) |S|^{t-(m+1)/2} C_{\kappa}(S) dS C_{\kappa}(T) / C_{\kappa}(I)$. 積分で HSH'
を新しい変数 S と変数変換すると, $\text{tr}(HSH') = \text{tr}(SH'H) = \text{tr}(S)$
かつ dS が変化しないので $f(H' TH) = f(T)$.

ノート $C(S(H'TH))$ は $C((H'TH)^{1/2}S(H'TH)^{1/2})$ の省略記法なのでもうすこし慎重に計算が必要. まず, $(H'TH)^{1/2} = H'T^{1/2}H$.

$T^{1/2}$ は *pos sym* な T に対して (対角化する行列によらず) 一意的に定まる. $L'(H'TH)L = T_\lambda$ と対角化すると, $(H'TH)^{1/2}$ は定義より, $LT_\lambda^{1/2}L'$, $L \in O(m)$ — (a), T_λ は T の固有値を並べたもの ($H'TH$ の固有値とも一致). $(HL)'T(HL) = T_\lambda$ なので
 $T^{1/2} = (HL)T_\lambda^{1/2}(HL)' = H(LT_\lambda^{1/2}L')H'$. H', H を左右から掛けると $H'T^{1/2}H = LT_\lambda^{1/2}L'$. これは (a) より $(H'TH)^{1/2}$ に等しい.

$C((H'TH)^{1/2}S(H'TH)^{1/2}) =$ 上で証明したこと
 $C((H'T^{1/2}HSH'T^{1/2}H))$. $O(m)$ 不変性よりこれは次に等しい.

$C(H(H'T^{1/2}HSH'T^{1/2}H)H') = C(T^{1/2}HSH'T^{1/2}) = C(HSH'T)$.

(matrix) Laplace 変換. Z を complex symmetric matrix として,

$$L[f](Z) = \int_{S>0} \text{etr}(-SZ) f(S) dS^4$$

$$\int_0^1 |S|^{t-(m+1)/2} |I-S|^{u-(m+1)/2} C_\kappa(RS) dS = \frac{\Gamma_m(t, \kappa) \Gamma_m(u)}{\Gamma_m(t+u, \kappa)} C_\kappa(R) \quad (5)$$

ここで, $\Gamma_m(u) = \pi^{m(m-1)/4} \prod_{i=1}^m \Gamma(u - (i-1)/2)$

Proof sketch. (4) と同様な論法で $C_\kappa(R)$ をくくりだせる.

$S = R^{-1/2} T R^{-1/2}$ と変数変換. Laplace 変換は積と convolution

を交換する. 積分を $C_\kappa(T) |T|^{t-(m+1)/2}$ と $|T|^{u-(m+1)/2}$ の

convolution とみなす. これの Laplace 変換はこの二つの関数を

Laplace 変換してからかけたものに同じ. (4) を複数回適用して結果を得る. //

⁴ $\text{etr}(X) = \exp(\text{Tr}(X))$

ノート (4) と同じ論法の部分.

$f(R) = \int_0^I |S|^{t-(m+1)/2} |I-S|^{u-(m+1)/2} C_\kappa(RS) dS$ とおく. R を $H'RH$, $H \in O(m)$ と置き換えると, 積分の中の C_κ は $C_\kappa(H'RH)$ となる. James1960 の公式を使えば, $O(m)$ での積分で, これは $C_\kappa(R)C_\kappa(S)/C_\kappa(I)$ に等しい. よって R が変数分離されて,

$$\int_{O(m)} f(H'RH) d(H) = \frac{f(I)}{C_\kappa(I)} C_\kappa(R)$$

と書ける. 一方,

$C_\kappa(H'RH) =$ 不変性 $C_\kappa(HH'RHS) = C_\kappa(RHS)$. S を HS と変数変換すると, dS は変わらず, $I - HS = H(I - S)H'$ なので, $f(H'RH) = f(R)$ である.

ノート あとは R に依存しない定数部分をきめれば良い.

公式 (Muirhead p.58, @s) $X = AYB$ の時,

$$(dX) = |A|^m |B|^n (dY)$$

ここで, A は $m \times m$ 行列, B は $n \times n$ 行列.

$$(dX) = \prod_{ij} dX_{ij}.$$

$S = R^{-1/2} T R^{-1/2}$ と変数変換する. 上の公式から $dS = |R|^{-m} dT$ となる ((dS) は dS と括弧を省略. 対称行列の場合は $(dX) = \prod_{i \leq j} dX_{ij}$ としてるので, $dS = |R|^{(m+1)/2} dT$. また,

$$|I - S|^\alpha = |R^{-1/2} (R - T) R^{-1/2}|^\alpha = |R|^{-\alpha} |R - T|^\alpha$$

$S > 0, I - S > 0$ の条件は, $R^{-1/2} T R^{-1/2}$,
 $R^{-1/2} (R - T) R^{-1/2} > 0$ の条件に. つまり $T > 0, R - T > 0$. あとは proof sketch の方針に従い, 次を用いる.

$$L \left[\int_0^R f(T) g(R - T) dT \right] = L[f] L[g]$$

ノート

$$\begin{aligned} & L \left[\int_0^R f(T)g(R-T)dT \right] \\ &= \int_{R>0} \int_0^R \text{etr}(-ZR)f(T)g(R-T)dTdR \\ & \quad x = T, y = R - T \text{ とおくと積分領域は } x, y > 0 \\ &= \int_{x>0} \text{etr}(-Zx)f(x)dx \cdot \int_{y>0} \text{etr}(-Zy)g(y)dy \end{aligned}$$

Constantine 1963 Th 7. $\text{etr}(A) = \exp(\text{tr}(A))$ とおく. このとき

$$\int_0^\Omega \text{etr}(-\Lambda S) |S|^{t-(m+1)/2} dS = c |\Omega|^t {}_1F_1(t; t+(m+1)/2; -\Omega^{1/2} \Lambda \Omega^{1/2}) \quad (6)$$

$$c = \frac{\Gamma_m(t) \Gamma_m((m+1)/2)}{\Gamma_m(t+(m+1)/2)}.$$

Proof sketch. $S = \Omega^{1/2} T \Omega^{1/2}$ と変数変換. 積分領域は $0 < T < I$.

$$\text{etr}(-\Lambda S) = \text{etr}(-\Omega^{1/2} \Lambda \Omega^{1/2} T) = \sum_k \sum_\kappa \frac{C_\kappa(-\Omega^{1/2} \Lambda \Omega^{1/2} T)}{k!}$$

T をまた S と書く. (5) を用いて

$$|S|^{t-(m+1)/2} C_\kappa(RS), \quad R = -\Omega^{1/2} \Lambda \Omega^{1/2}$$

を項別積分. すると, (Ω 定数) $\frac{\Gamma_m(t, \kappa) \Gamma_m((m+1)/2)}{\Gamma_m(t+(m+1)/2)} C_\kappa(R)$ を得る.

//

m 次元の normal distribution (平均 0, 共分散行列 $\Sigma_{ij} = E[x_i x_j]$) に従う 独立な random variable (たてベクトル) を n 個 もってくる. ならべたものを X と書く. $S = XX'$ の従う分布が Wishart 分布で,

$$|S|^{(n-m-1)/2} \text{etr} \left(-\frac{1}{2} \Sigma^{-1} S \right)$$

の定数倍.

Proof sketch. cf. Muirhead p.85 Th 3.2.1. $X' = H_1 T$, T は $m \times m$ 上三角行列, H_1 は m 個の n 次元縦ベクトルで伸ばすと $O(n)$ になるものを持ってくる. $dX \sim dSH_1' dH_1$ となっている. H_1 について積分 (Stiefel manifold での積分) すれば S についての確率密度が出る. //

(6) の被積分関数 $\text{etr}(-\Lambda S) |S|^{t-(m+1)/2} dS$ は Wishart 分布 (normalize してない).

以上で, (1) の証明の概要終了.

(1) の効率的計算手法. ソフトウェア. 展開.

Theorem

graded reverse lexicographic order \succ に関して *Muirhead* の方程式系 (3) $\{g_1, \dots, g_m\}$ は有理関数係数の微分作用素環でグレブナー基底となる. *Initial term* は $\langle \partial_1^2, \dots, \partial_m^2 \rangle$. *Standard monomials* は

$$\{\partial_{i_1} \partial_{i_2} \dots \partial_{i_k} \mid 1 \leq i_1 < \dots < i_k \leq m, k \leq m\},$$

の 2^m 個.

Proof sketch. S-pair 判定法を適用. //

F を standard monomials を縦に並べたベクトルを ${}_1F_1$ に作用したものとする. この定理から Pfaffian $dF = (\sum P_i dy_i)F$ が構成できる. さらに g_i が都合のいい形をしてるので, P_i が 効率よく 計算できる.

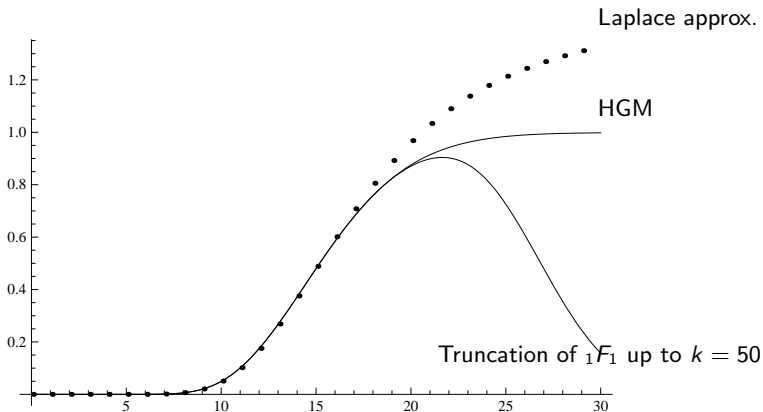
$\Sigma^{-1} = \text{diag}(\beta_1, \dots, \beta_m)$ とする. $G = \exp(x/2\text{tr}\Sigma^{-1})x^{-mn/2}$.
 $P_\beta = \sum P_i|_{y=x\beta_i/2} - G^{-1}G'E$ (Pfaffian の line への制限を Gauge 変換したもの) とおく. 初期値は Koev-Edelman 2006. ODE $dF/dx = P_\beta F$ を Runge-Kutta 法で解く.

Theorem (安定性)

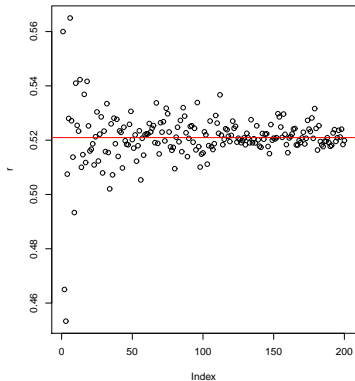
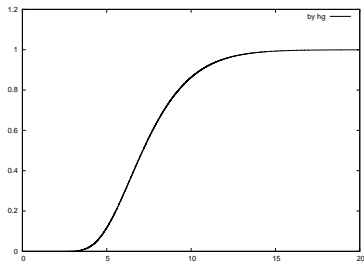
$x \rightarrow \infty$ の時

$$P_\beta = A_0 + O(1/x),$$

ここで A_0 の 2^m 個の固有値は, $-e_1\beta_1 - \dots - e_m\beta_m$,
 $(e_1, \dots, e_m) \in \{0, 1\}^m$.



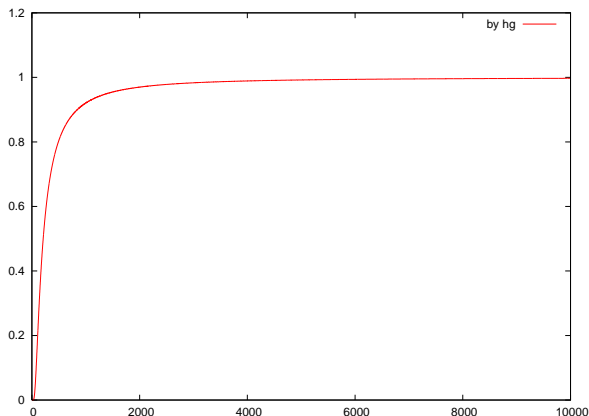
$$m = 2, n = 30, \Sigma = \text{diag}(1/2, 1/4).$$



$m = 10, n = 12, \beta = (1, 2, \dots, 10).$

$P(\lambda_1(W) < 3)$ (最大固有値が 3 以下である頻度/総試行回数) の値. 試行 20,000 回までのシミュレーション値.

$P(\ell_1(W_1 W_2^{-1}) \leq x)$ by ${}_2F_1$.



$\Pr(\ell_1 < x)$, $m = 10$, $n_1 = 11$, $n_2 = 12$,

$$\Sigma_2^{-1} \Sigma_1 = \text{diag}(1, 2, 3, 4, 5, 6, 7, 8, 9, 10)$$

13 min 15 sec (Intel Xeon CPU (2.70GHz), 256 G memory).

主な展開.

- ① F.H.Danufane, K.Ohara, N.Takayama, (C.Siriteanu).
Holonomic Gradient Method for the Distribution Function of
the Largest Root of Complex Non-central Wishart Matrices,
arxiv:1707.02564. 複素 Wishart.
- ② <https://cran.r-project.org/web/packages/hgm/index.html> ソ
フトウェア
- ③ H.Hashiguchi, N.Takayama, A.Takemura. Distribution of
Ratio of two Wishart Matrices and Evaluation of Cumulative
Probability by Holonomic Gradient Method, arxiv:1610.09187.
 ${}_2F_1$
- ④ M.Noro. System of Partial Differential Equations for the
Hypergeometric Function $1F_1$ of a Matrix Argument on
Diagonal Regions. ISSAC 2016. 特異点に限
- ⑤ H.Hashiguchi, Y.Numata, N.Takayama, A.Takemura.
Holonomic gradient method for the distribution function of
the largest root of a Wishart matrix, Journal of Multivariate
Analysis, 117, (2013) 296-312. 本日